

РАСЧЕТ ОПАСНЫХ ОБЪЕМОВ В ОКРЕСТНОСТИ ВЕРШИНЫ ТРЕЩИНЫ МЕТОДАМИ ГРАНИЧНЫХ И КОНЕЧНЫХ ЭЛЕМЕНТОВ

д. ф.-м. н. ^{1,2} Щербаков С.С., м. н. с. ² Шемет Л.А.

¹Государственный комитет по науке и технологиям Республики Беларусь, Минск,

²Белорусский государственный университет, Минск

Введение. На сегодняшний день метод граничных элементов и метод конечных элементов широко используются для решения задач механики деформированного твердого тела. У каждого из этих методов имеются свои достоинства и недостатки. Преимуществом метода граничных элементов перед методом конечных элементов является то, что при дискретизации модели построение расчетной сетки происходит не по всему объему тела, а только по его границе, т.е. размерность задачи уменьшается на единицу. С другой стороны, при гранично-элементном моделировании матрица результирующей системы линейных алгебраических уравнений полностью заполнена в отличие от метода конечных элементов, при применении которого матрица содержит большое количество нулей [1]. В данной работе представлено сравнение этих двух методов на примере расчета повреждаемости стандартного образца для исследования трещиностойкости. Исследование повреждаемости основано на понятии опасного объема, под которым понимается область тела, в которой действующие напряжения превышают некоторую предельную величину.

Схема нагружения. Схема нагружения образца представлена на рисунке 1: к верхней и нижней полуокружности приложена равномерно распределенная растягивающая нагрузка p_n .

Геометрические характеристики и свойства материала были приняты следующими: $B=0,05$ м, $H=0,06$ м, $L=0,04$ м, $R=0,00625$ м, модуль упругости $E = 2,1 \cdot 10^{11}$ Па и коэффициент Пуассона $\nu = 0,3$. Осевая нагрузка P изменяется от 17 500 Н до 20 000 Н с шагом 1250 Н, равномерно распределенная нагрузка $p_n = P/(\pi R)$.

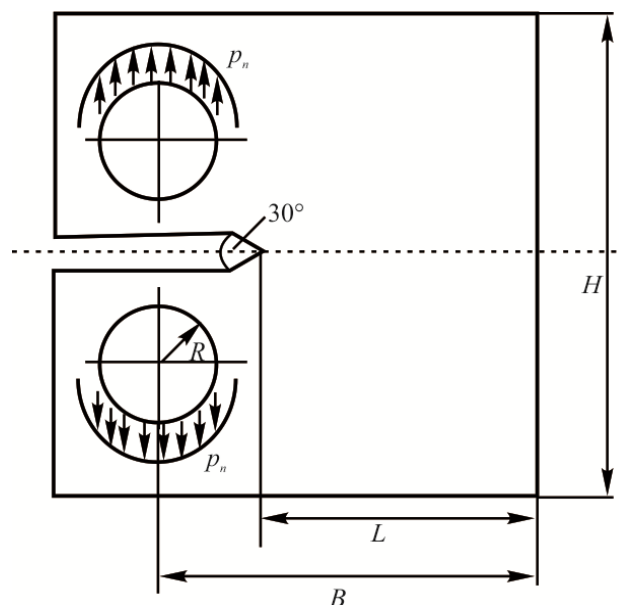


Рис. 1. Расчетная схема для образца

Поскольку на поверхности образца S_σ заданы распределения усилий p_i , то граничные условия принимаю вид

$$\sigma_{ij} a_j |_{S_\sigma} = p_{i2}, i = 1, 2,$$

где a_j – направляющие косинусы, $i=1$ определяет касательное к поверхности направление, а $i=2$ – нормальное.

Отметим, что на свободных поверхностях нормальные и касательные к ним усилия $p_{22} = p_n$ и $p_{12} = p_\tau$ равны нулю.

Алгоритм гранично-элементного моделирования. Для решения нашей задачи на основе метода граничных элементов воспользуемся фундаментальным решением задачи Кельвина для плоскости в перемещениях и напряжениях в случае действия сосредоточенных нормальной (верхний индекс n) и касательной (верхний индекс τ) к некоторой линии в плоскости сил в перемещениях и напряжениях [2-4]. Для построения алгоритма гранично-элементного моделирования проинтегрируем фундаментальные решения вдоль некоторой линии приложения равномерно распределенных нормальных p_n и касательных p_τ усилий (см. рисунок 2):

$$u_1^{(n)} = p_n G_1^{(n,u)} = \frac{-p_n x_2}{8\pi\mu(1-\nu)} \ln \frac{r_1}{r_2}, \quad (1)$$

$$u_1^{(\tau)} = p_\tau G_1^{(\tau,u)} = \frac{p_\tau}{8\pi\mu(1-\nu)} (4(1-\nu)(2a - x_2) \Theta - (3-4\nu)((a-x_1) \ln r_1 + (a+x_1) \ln r_2)),$$

$$u_2^{(n)} = p_n G_2^{(n,u)} = \frac{-p_n}{8\pi\mu(1-\nu)} (2x_2(1-2\nu) \Theta + (3-4\nu)(-2a + (a-x_1) \ln r_1 + (a+x_1) \ln r_2)), \quad (2)$$

$$u_2^{(\tau)} = p_\tau G_2^{(\tau,u)} = \frac{-p_\tau x_2}{8\pi\mu(1-\nu)} \ln \frac{r_1}{r_2},$$

$$\sigma_{11}^{(n)} = p_n G_{11}^{(n,\sigma)} = \frac{p_n x_2}{4\pi(1-\nu)} \left(\frac{a-x_1}{r_1^2} + \frac{a+x_1}{r_2^2} - 2\nu\Theta \right),$$

$$\sigma_{11}^{(\tau)} = p_\tau G_{11}^{(\tau,\sigma)} = \frac{1}{4\pi(1-\nu)} \left(x_2^2 \left(\frac{1}{r_1^2} - \frac{1}{r_2^2} \right) + (3-2\nu) \ln \frac{r_1}{r_2} \right), \quad (3)$$

$$\sigma_{22}^{(n)} = p_n G_{22}^{(n,\sigma)} = \frac{-p_n y}{4\pi(1-\nu)} \left(\frac{a-x_1}{r_1^2} + \frac{a+x_1}{r_2^2} + \frac{2(1-\nu)}{y} \Theta \right),$$

$$\sigma_{22}^{(\tau)} = p_\tau G_{22}^{(\tau,\sigma)} = \frac{-p_\tau}{4\pi(1-\nu)} \left(x_2^2 \left(\frac{1}{r_1^2} - \frac{1}{r_2^2} \right) + (1-2\nu) \ln \frac{r_1}{r_2} \right), \quad (4)$$

$$\sigma_{12}^{(n)} = p_n G_{12}^{(n,\sigma)} = \frac{-p_n}{4\pi(1-\nu)} \left(x_2^2 \left(\frac{1}{r_1^2} - \frac{1}{r_2^2} \right) - (1-2\nu) \ln \frac{r_1}{r_2} \right),$$

$$\sigma_{12}^{(\tau)} = p_\tau G_{12}^{(\tau,\sigma)} = \frac{p_\tau}{4\pi(1-\nu)} \left(x_2^2 \left(\frac{1}{r_1^2} - \frac{1}{r_2^2} \right) - (1-2\nu)\Theta + \ln \frac{r_1}{r_2} \right), \quad (5)$$

где $G_{ij}^{(n,\sigma)}, G_{ij}^{(\tau,\sigma)}, G_i^{(n,u)}, G_i^{(\tau,u)}$ – функции влияния и

$$r_1^2 = (a-x_1)^2 + x_2^2, \quad r_2^2 = (a+x_1)^2 + x_2^2, \quad \Theta = \arctg \frac{a-x_1}{x_2} + a-x_1.$$

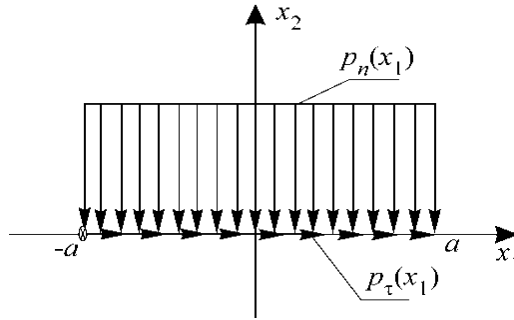


Рис. 2. Равномерное распределение усилий на граничном элементе

Суперпозиция решений (1)–(5) позволяет решать задачу для любого распределения усилий в пространстве [5-7].

Пусть $O^k x_1^k x_2^k$ и $O^\gamma x_1^\gamma x_2^\gamma$ локальные системы координат, связанные с граничными элементами k и γ и $a_{ij}^{k\gamma} = \cos(x_i^k x_j^\gamma)$. Тогда перемещения и напряжения в центре элемента γ O^γ в координатах \mathbf{x}^k , связанных с элементом k , примут вид

$$\begin{aligned} u_i^\gamma [O^\gamma(\mathbf{x}^k)] &= p_n^\kappa G_i^{(n,u)} [O^\gamma(\mathbf{x}^k)] + p_\tau^\kappa G_i^{(\tau,u)} [O^\gamma(\mathbf{x}^k)], \\ \sigma_{ij}^\gamma [O^\gamma(\mathbf{x}^k)] &= p_n^\kappa G_{ij}^{(n,\sigma)} [O^\gamma(\mathbf{x}^k)] + p_\tau^\kappa G_{ij}^{(\tau,\sigma)} [O^\gamma(\mathbf{x}^k)], \end{aligned} \quad (6)$$

где $i, j=1, 2$.

$$\sigma_{i2}^\gamma [O^\gamma(\mathbf{x}^\gamma)] = \sigma_{i2}^\gamma [0] = \sum_{k=1}^N \sum_{\alpha=1}^2 \sum_{\beta=1}^2 a_{i\alpha}^k a_{\beta 2}^k \sigma_{\alpha\beta}^k [O^\gamma(\mathbf{x}^\gamma)] = p_{i2}^\gamma, \quad i=1, 2,$$

где $\gamma = \overline{1, N}$, N – количество граничных элементов.

Пусть $Ox_1 x_2$ глобальная система координат и $a_{ij}^k = \cos(x_i x_j^k)$. Тогда перемещения и напряжения в некоторой точке глобальной системы координат $M(\mathbf{x})$ будут следующими:

$$\begin{aligned} u_i [M(\mathbf{x})] &= \sum_{k=1}^N \sum_{j=1}^2 a_{ij}^k (p_n^\kappa G_j^{(n,u)} [M(\mathbf{x}^k)] + p_\tau^\kappa G_j^{(\tau,u)} [M(\mathbf{x}^k)]), \\ \sigma_{ij} [M(\mathbf{x})] &= \sum_{k=1}^N \sum_{\alpha=1}^2 \sum_{\beta=1}^2 a_{i\alpha}^k a_{\beta j}^k (p_n^\kappa G_{\alpha\beta}^{(n,\sigma)} [M(\mathbf{x}^k)] + p_\tau^\kappa G_{\alpha\beta}^{(\tau,\sigma)} [M(\mathbf{x}^k)]), \end{aligned} \quad (7)$$

где $i, j, \alpha, \beta=1, 2$.

Опасный объем. Рассмотрим тензор механического параметра φ_{ij} , конкретизациями которого являются тензоры напряжений σ_{ij} и деформаций ε_{ij} . Для однородного изотропного деформируемого твердого тела определим предельные нормальные и касательные значения $\varphi_n^{(*\text{lim})}$ и $\varphi_\tau^{(*\text{lim})}$ тензора $\varphi_{ij}^{(\pm*\text{lim})}$, а также предельное главное значение тензора $\varphi_1^{(*\text{lim})}$ и предельную интенсивность $\varphi_{\text{int}}^{(*\text{lim})}$ [8, 9]:

$$\begin{aligned} \varphi_n^{(*\text{lim})} &= \max_{dV, i} (|\varphi_{ii}(F_{\text{lim}}, dV)|), \quad i = x, y, z, \\ \varphi_\tau^{(*\text{lim})} &= \max_{dV, i, j} (|\varphi_{ij}(F_{\text{lim}}, dV)|), \quad i, j = x, y, z, \quad i \neq j, \\ \varphi_1^{(*\text{lim})} &= \max_{dV} (|\varphi_1(F_{\text{lim}}, dV)|), \\ \varphi_{\text{int}}^{(*\text{lim})} &= \max_{dV} [\varphi_{\text{int}}(F_{\text{lim}}, dV)], \end{aligned} \quad (8)$$

где dV – элементарный объем нагруженного тела.

Следовательно, если рассмотреть тензор φ_{ij} в каждом элементарном объеме dV тела, то в общем случае для описания изменения величины действующих напряжений по сравнению с величиной предельных напряжений можно ввести три типа относительных повреждающих напряжений [8, 9]: компонентные, главные и

октаэдрические:

$$\begin{aligned}\Psi_{ij} &= \left| \varphi_{ij} / \varphi_m^{(*\text{lim})} \right|, \\ \Psi_i &= \left| \varphi_i / \varphi_1^{(*\text{lim})} \right|, \\ \Psi_{\text{int}} &= \varphi_{\text{int}} / \varphi_{\text{int}}^{(*\text{lim})}.\end{aligned}\tag{9}$$

Соотношения (9) представляют собой показатели локальной повреждаемости элементарного объема тела.

Условия для ограничения опасных объемов с учетом формул (9) будут иметь вид

$$\begin{aligned}V_{ij} &= \left\{ dV / \varphi_{ij} \geq \varphi_m^{(*\text{lim})}, dV \subset V_k \right\}, i, j = x, y, z, \\ m &= \begin{cases} n & \text{при } i = j, \\ \tau & \text{при } i \neq j, \end{cases} \\ V_i &= \left\{ dV / \varphi_i \geq \varphi_1^{(*\text{lim})}, dV \subset V_k \right\}, i = 1, 2, 3, \\ V_{\text{int}} &= \left\{ dV / \varphi_{\text{int}} \geq \varphi_{\text{int}}^{(*\text{lim})}, dV \subset V_k \right\},\end{aligned}\tag{10}$$

где V_k – рабочий объем нагруженного тела.

Расчет опасных объемов (10) в общем случае осуществляется следующим образом [8, 9]:

$$V_q = \int_{\Psi_q \geq 1} dV, \quad q = x, y, z, 1, 2, 3, \text{int}.\tag{11}$$

Опасные объемы (10) являются интегральными показателями абсолютной повреждаемости тела, содержащими сведения как о напряженно-деформированном состоянии, так и предельном.

Опасный объем (площадь) в компактном образце. Расчет напряженно-деформированного состояния образца на основе метода конечных элементов проводился в пакете Ansys. Для выполнения расчетов опасных объемов была создана программа на базе встроенного в Ansys языка APDL. Алгоритм работы программы заключается в сохранении массива данных значений напряжений и деформаций по всем конечным элементам и использования их в дальнейших вычислениях значений локальной повреждаемости, как отношений действующих и предельных напряжений или деформаций, в нашем случае:

$$\Psi_q^i = \sigma_q^i / \sigma_q^{\text{lim}}, q = 1, \text{int}.\tag{12}$$

Величины объемов элементов, для которых выполняется условие $\Psi^i \geq 1$, суммируются в соответствии с (11) для получения значения опасного объема V для всей расчетной модели.

Реализация гранично-элементного моделирования производилась с использованием программы Mathematica. Все компоненты тензора напряжений определялись в точках компактного образца с фиксированным шагом $h=0,00001$ м. Для получения опасного объема в образце, объем всего образца умножался на Nq/N , $q=1, \text{int}$, где Nq – количество точек, в которых действующее напряжение превышает предельное, а N – общее количество точек. В двумерной постановке, опасный объем V принимает вид опасной площади S .

Стоит отметить, для конечно-элементного расчета (КЭ) использовалось 187 660 элементов, а для гранично-элементного (ГЭ) – 4590 элементов.

Ниже представлены результаты расчетов при нагрузке на образец $P=20\,000$ Н (см. рисунки 3 а-г и 4 а-г). На рисунках 3 а, б представлены графики распределения напряжений в образце по линии симметрии для гранично-элементного и конечно-элементного расчета. Из данных рисунков видно хорошее соответствие ГЭ и КЭ расчетов друг другу [10].

На рисунках 3 в-е представлены зависимости опасной площади S от величины

предельных значений напряжений и графики относительной погрешности ε , которая вычислена по формуле:

$$\varepsilon = \frac{|S_q^{(\Gamma\mathcal{E})} - S_q^{(K\mathcal{E})}|}{S_q^{(K\mathcal{E})}} \cdot 100\%, \quad q = 1, \text{ int},$$

где $S_q^{(\Gamma\mathcal{E})}$ – опасный объем, полученный при гранично-элементном моделировании;

$S_q^{(K\mathcal{E})}$ – опасный объем, полученный при конечно-элементном моделировании;

Из рисунков 3 д, е видно, что для всех рассматриваемых нагрузок и предельных значений напряжений большинство значений относительной погрешности лежит в диапазоне от 4 до 8 %.

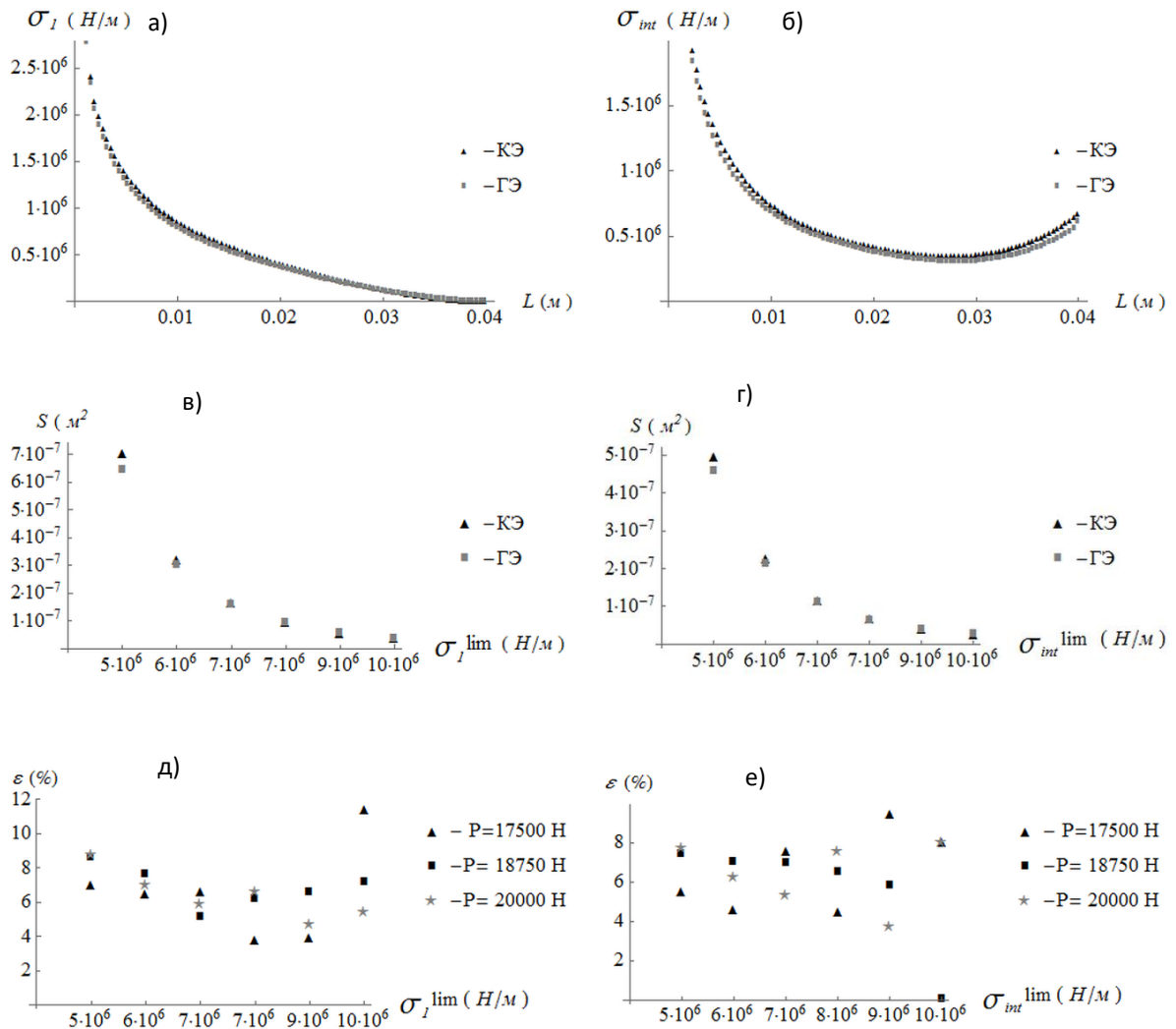


Рис. 3. Распределение интенсивности напряжений (а) и первых главных напряжений (б) в рабочем теле образца, зависимость опасного объема от величины предельных значений интенсивности напряжений (в) и первых главных напряжений (г)

На рисунке 4 представлены опасные площади для гранично-элементного и конечно-элементного моделирования. Видно, что площади имеют одинаковую форму и размер для соответствующих критериев.

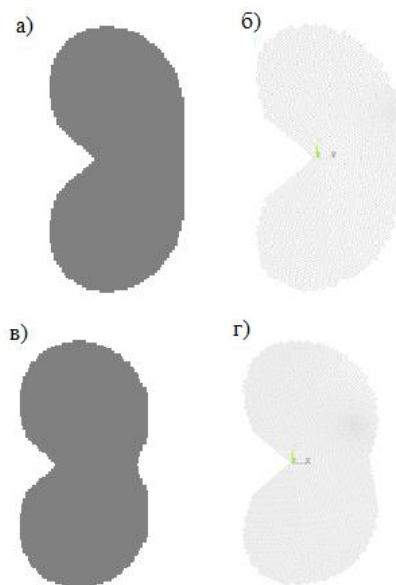


Рис. 4. Формы опасного объема (площади) для $\psi_{\text{int}} = \sigma_{\text{int}} / \sigma_{\text{int}}^{\text{lim}}$ (а – ГЭ, б – КЭ) и $\psi_1 = \sigma_1 / \sigma_1^{\text{lim}}$ (в – ГЭ, г – КЭ)

Вывод. Представлены результаты моделирования повреждаемости стандартного образца для исследования трещиностойкости методом конечных элементов и методом граничных элементов. Исследование повреждаемости в окрестности вершины трещины проводилось на основе оценки величин опасных объемов, под которым понимается область тела, в которой действующие напряжения превышают некоторую предельную величину.

Анализ результатов показал хорошее соответствие гранично-элементного моделирования напряженного и объемной повреждаемости, основанного на предварительном интегрировании фундаментальных решений, конечно-элементному моделированию.

ЛИТЕРАТУРА

1. Журавков, М.А. Гранично-элементное моделирование в механике / М.А. Журавков, А.В. Круподеров, С.С. Щербаков. – Минск: БГУ, 2014. – 272 с.
2. Zhuravkov, M.A. Modeling of volumetric damage of multielement clamp-knife-base tribo-fatigue system / M.A. Zhuravkov, S.S. Sherbakov, A.V. Krupoderov // Z. Angew. Math. Mech. (ZAMM). – 2017. – P. 60–69.
3. Sherbakov, S.S. Contact interaction, volume damageability and multicriterial limiting states of multielement tribo-fatigue systems / S. Sherbakov, M. Zhuravkov, L. Sosnovskiy // In book: Selected Problems on Experimental Mathematics, ed. by R. Witula, B. Bajorska-Harapińska, E. Hetmaniok, D. Słota, T. Trawiński. – Gliwice: Wydawnictwo Politechniki Śląskiej, 2017. – pp. 17–38.
4. Крауч, С. Методы граничных элементов в механике твердого тела / С. Крауч, А. Старфилд – М.: Мир, 1987. – 328 с.
5. Джонсон, К. Механика контактного взаимодействия / К. Джонсон. – М.: Мир, 1989. – 510 с.
6. Щербаков С.С. Напряженно-деформируемое состояние и поврежденность трибофатической системы прижим-нож-опора режущего инструмента комбайна / С.С. Щербаков // Механика машин, механизмов и материалов. – 2012. – № 2. – С 75–80.
7. Мармыш, Д.Е. Граничноэлементное моделирование напряженно-

- деформированного состояния статически неопределимой балки/Д.Е. Мармыш// Теоретическая и прикладная механика: Международный сборник научно-методических статей. – Вып. 28. – Минск: БНТУ, –2013. – С. 219-223.*
8. *Сосновский, Л.А. Фундаментальные и прикладные задачи трибофатики : курс лекций / Л. А. Сосновский, С. С. Щербаков. – Минск: БГУ, 2011. – 488 с.*
 9. *Щербаков, С.С. Механика трибофатических систем / С.С. Щербаков, Л.А. Сосновский. – Минск: БГУ, 2011. – 407 с.*
 10. *Щербаков, С. С. Гранично-элементное моделирование напряженного состояния образца для исследования трещиностойкости/ С. С. Щербаков, Л. А. Шемет, О. А. Насань// Прикладные задачи математики: материалы XXVI междунар. науч.-техн. конф., Севастополь, 17–21 сент. 2018 г. / СевГУ; науч. ред. Ю. Э. Обжерин. – Севастополь, 2011. – С. 174–179.*